

УДК 531.38

©2009. Н.В. Дергачева

ИССЛЕДОВАНИЕ ФУНДАМЕНТАЛЬНОГО РЕШЕНИЯ ДЛЯ УСИЛИЙ И МОМЕНТОВ ПРИ СОСРЕДОТОЧЕННОМ ТЕПЛОВОМ ВОЗДЕЙСТВИИ

С помощью найденных ранее фундаментальных решений уравнений термоупругости построена фундаментальная матрица усилий и моментов для пологих ортотропных оболочек произвольной гауссовой кривизны. Описана методика поиска этих матриц и исследована зависимость усилий и моментов от геометрических параметров оболочек.

Введение. В связи с необходимостью расчета элементов тонкостенных конструкций при тепловых нагревах во время сварки [1] в последние годы интенсивно развиваются методы исследования термоупругого состояния таких элементов.

В данной работе проводится исследование решения для усилий и моментов при сосредоточенном тепловом воздействии. Температурная задача для пологих изотропных оболочек решена как для оболочек частного вида (сферических, цилиндрических) [2, 3], так и для оболочек положительной гауссовой кривизны [4]. В работе [5] построено фундаментальное решение уравнений термоупругого равновесия пологих ортотропных оболочек в перемещениях. Сосредоточенное температурное воздействие предполагает отличное от нуля значение интегральных характеристик температуры лишь в одной точке срединной поверхности, и необходимость в решении задачи теплопроводности отпадает.

В данной статье для нахождения фундаментальной матрицы усилий и моментов использован подход, основанный на двумерном интегральном преобразовании Фурье и теории функций комплексных переменных [6]. Рассмотренный метод позволил найти решение для интегралов комплексных переменных и получить фундаментальное решение для усилий и моментов.

1. Постановка задачи. Рассмотрим тонкую пологую оболочку толщиной $2h$ произвольной гауссовой кривизны. Определение термоупругого состояния заданной оболочки сводится к решению системы уравнений [5, 6]

$$\sum_{j=1}^3 L_{ij} u_j = -X_i (i = \overline{1,3}), \quad (1)$$

в которой $u_1 = u$, $u_2 = v$, $u_3 = w$ – компоненты вектора перемещений; L_{ij} – известные дифференциальные операторы [5]. При этом, если распределение температуры по толщине является четной функцией, то

$$X_1 = -\frac{\alpha_t^{(1)} \kappa^2 + \nu \alpha_t^{(2)}}{\kappa^2} \frac{\partial}{\partial x} t_1;$$

$$X_2 = -\frac{\alpha_t^{(2)} + \nu\kappa^2\alpha_t^{(1)}}{\kappa^2} \frac{\partial}{\partial y} t_1;$$

$$X_3 = \frac{1}{hR_2\kappa^2} \left[\alpha_t^{(1)}\kappa^2(\nu + \lambda\kappa^2) + \alpha_t^{(2)}(1 + \lambda\kappa^2\nu) \right] t_1, \quad (2)$$

а в случае температуры, заданной нечетной функцией,

$$X_1 = 0;$$

$$X_2 = 0;$$

$$X_3 = -\frac{1}{6\kappa^2} \left[\frac{\alpha_t^{(1)}\kappa^2 + \nu\alpha_t^{(2)}}{\kappa^3} \frac{\partial^2}{\partial x^2} + \frac{\alpha_t^{(2)} + \nu\kappa^2\alpha_t^{(1)}}{\kappa} \frac{\partial^2}{\partial y^2} \right] t_2, \quad (3)$$

здесь $\nu = \sqrt{\nu_1\nu_2}$, $\nu_1\nu_2$ – коэффициенты Пуассона вдоль главных осей ортотропии; $\lambda = R_2/R_1$, R_1, R_2 – кривизна и радиусы кривизны оболочки вдоль главных осей ортотропии; $\alpha_t^{(1)}, \alpha_t^{(2)}$ – температурные коэффициенты линейного расширения; t_1, t_2 – интегральные характеристики температуры. Поскольку рассматривается случай сосредоточенного теплового воздействия, дельта-функция Дирака записывается вместо средней температуры и температурного момента в правых частях системы дифференциальных уравнений термоупругости ортотропных оболочек (1). Действие средней температуры в этой точке моделирует "плоское" температурное воздействие, а действие температурного момента – "изгибное" температурное воздействие. Интегральные характеристики температуры, стоящие в правой части уравнения термоупругого равновесия (1), определяются по формулам:

$$t_1 = \mu_0\delta(\kappa x, y), \quad t_2 = \mu_1\delta(\kappa x, y); \quad (4)$$

где δ – двумерная дельта-функция Дирака; μ_0, μ_1 – интенсивность "плоского" и "изгибного" сосредоточенного воздействия. Их размерность есть [градусы x площадь].

2. Метод решения. Для исследования напряженно-деформированного состояния оболочки будем использовать научные расчеты фундаментальных решений [5]. Подставим фундаментальные решения для перемещений в физические уравнения [6]. После упрощений получим фундаментальные выражения для усилий и моментов в пространстве трансформант. Для нахождения усилий $T_{x,y}$ в случае "плоского" теплового воздействия и моментов $M_{x,y}$ в случае "изгибного" теплового воздействия была использована теория вычетов [9]. Остальные результаты в статье получены с помощью двумерного преобразования Фурье [10]. Формулы для трансформант усилий $T_{x,y}$ в случае "плоского" теплового воздействия и моментов $M_{x,y}$ в случае "изгибного" теплового воздействия состоят из двух слагаемых: плоской и оболочечной части.

Для "плоского" сосредоточенного теплового воздействия:

$$\bar{T}_x^{(0)} = \frac{Ehk^4\mu_0(1-\mu)^2}{2\pi\kappa a^3} \frac{\eta^2(\alpha_t^{(2)}\xi^2 + \alpha_t^{(1)}\kappa^2\eta^2)(\xi^2 + \lambda\kappa^2\eta^2)^2}{\Delta_1\Delta_2} -$$

$$\begin{aligned} & - \frac{Eh\mu_0(1-\mu)}{2\pi\kappa a} \frac{\eta^2 \left(\alpha_t^{(1)} \kappa^2 \eta^2 + \alpha_t^{(2)} \xi^2 \right)}{\Delta_1} \\ \bar{T}_y^{(0)} = & \frac{Ehk^4\mu_0(1-\mu)^2}{2\pi\kappa^3 a^3} \frac{(\alpha_t^{(2)} \xi^2 + \alpha_t^{(1)} \kappa^2 \eta^2)(\xi^2 + \lambda\kappa^2 \eta^2)^2 \xi^2}{\Delta_1 \Delta_2} - \\ & - \frac{Eh\mu_0(1-\mu)}{2\pi\kappa^3 a} \frac{\xi^2 \left(\alpha_t^{(1)} \kappa^2 \eta^2 + \alpha_t^{(2)} \xi^2 \right)}{\Delta_1}. \end{aligned} \quad (5)$$

В случае "изгибного" сосредоточенного теплового воздействия компоненты имеют вид:

$$\begin{aligned} \bar{M}_x^{(1)} = & \frac{D\mu_1\Delta_1}{\pi\kappa h a \Delta_2} \left[(\xi^2 + \nu\eta^2) \left[(\alpha_t^{(1)} \kappa^2 + \alpha_t^{(2)} \nu) \xi^2 + (\alpha_t^{(1)} \nu\kappa^2 + \alpha_t^{(2)}) \eta^2 \right] \right] - \\ & - \frac{D\mu_1}{\pi\kappa h} (\alpha_t^{(1)} \kappa^2 + \alpha_t^{(2)} \nu); \\ \bar{M}_y^{(1)} = & \frac{D\mu_1\Delta_1}{\pi\kappa^3 h a \Delta_2} \left[(\eta^2 + \nu\xi^2) \left[(\alpha_t^{(1)} \kappa^2 + \alpha_t^{(2)} \nu) \xi^2 + (\alpha_t^{(1)} \nu\kappa^2 + \alpha_t^{(2)}) \eta^2 \right] \right] - \\ & - \frac{D\mu_1}{\pi\kappa^3 h} (\alpha_t^{(1)} \kappa^2 \nu + \alpha_t^{(2)}), \end{aligned} \quad (6)$$

где

$$\Delta_1 = (\xi^2 + \eta^2)^2 - \tilde{\mu}(1+\nu)(\xi^2 - \eta^2)^2$$

$$\Delta_2 = [(\xi^2 + \eta^2)^2 + \tilde{\mu}(1-\nu)(\xi^2 - \eta^2)^2] \Delta_1 + \frac{(1-\mu)}{a^2} \frac{12(1-\nu^2)}{R_y^2 h^2} (\xi^2 + \lambda\kappa^2 \eta^2)^2,$$

$D = \frac{Eh^3}{12(1-\nu^2)}$, $2a = 2 - \mu + \mu\nu$, $\kappa^4 = \nu_x/\nu_y = E_x/E_y$, E_x, E_y – модули Юнга вдоль главных осей ортотропии, $\mu = \frac{E-2G_{xy}(1+\nu)}{E}$, $E = \sqrt{E_x E_y}$, где G_{xy} – модуль сдвига в срединной плоскости.

Рассмотрим более подробно методику нахождения решения на примере усилия $T_x^{(0)}$ при "плоском" сосредоточенном воздействии. Перейдем в пространство оригиналов с помощью двумерного преобразования Фурье:

$$\begin{aligned} T_x^{(0)} = & \frac{Ehk^4\mu_0(1-\mu)^2}{4\pi^2\kappa a^3} \int_{-\infty}^{+\infty} \int_{-\infty}^{+\infty} \frac{\eta^2 (\alpha_t^{(2)} \xi^2 + \alpha_t^{(1)} \kappa^2 \eta^2) (\xi^2 + \lambda\kappa^2 \eta^2)^2}{\Delta_1 \Delta_2} e^{-i(\xi x + \eta y)} d\xi d\eta - \\ & - \frac{Eh(1-\mu)\mu_0}{4\pi^2\kappa a} \int_{-\infty}^{+\infty} \int_{-\infty}^{+\infty} \frac{\eta^2 \left[\alpha_t^{(1)} \kappa^2 \eta^2 + \alpha_t^{(2)} \xi^2 \right]}{\Delta_1} e^{-i(\xi x + \eta y)} d\xi d\eta. \end{aligned} \quad (7)$$

Для первого слагаемого мы перейдем к полярной системе координат и воспользуемся методикой получения оригиналов, описанной в [5–7]. Для второго воспользуемся теорией вычетов [9]. В результате аналитических преобразований для второго слагаемого были получены комплексные интегралы вида:

$$\int_0^{\infty} \frac{\cos \xi x d\xi}{[(\xi^2 + \eta^2)^2 - b(\xi^2 - \eta^2)^2]} = \pi i \sum_{\text{Im } z \geq 0} \text{Res} [F(z) e^{ixz}];$$

$$\int_0^{\infty} \frac{\xi^2 \cos \xi x d\xi}{[(\xi^2 + \eta^2)^2 - b(\xi^2 - \eta^2)^2]} = \pi i z^2 \sum_{\text{Im } z \geq 0} \text{Res} [F(z) e^{ixz}], \quad (8)$$

где

$$F(z) = \frac{1}{[(z^2 + \eta^2)^2 - b(z^2 - \eta^2)^2]},$$

$$b = \tilde{\mu}(1 + \nu), \quad \tilde{\mu} = \frac{\mu}{2a}.$$

Были рассмотрены два случая, в зависимости от коэффициента ортотропии μ . Случай, когда $\mu > 0$, $\mu = 0$ – случай так называемой приведенной ортотропии и изотропии. В качестве примера приведем полученные в результате применения теории вычетов значения интегралов (8) для случая, когда $\mu > 0$:

$$\frac{1}{\pi} \int_0^{\infty} \frac{\cos(\xi x) d\xi}{[(\xi^2 + \eta^2)^2 - b(\xi^2 - \eta^2)^2]} = -\frac{\sqrt{1-b}}{\eta^3 8\sqrt{b}} \left((1 - \sqrt{b}) e^{-x\eta \frac{1+\sqrt{b}}{\sqrt{1-b}}} - (1 + \sqrt{b}) e^{-x\eta \frac{1-\sqrt{b}}{\sqrt{1-b}}} \right);$$

$$\frac{1}{\pi} \int_0^{\infty} \frac{\xi^2 \cos(\xi x) d\xi}{(\xi^2 + \eta^2)^2 - b(\xi^2 - \eta^2)^2} = \frac{\sqrt{1-b}}{\eta 8\sqrt{b}} \left((1 + \sqrt{b}) e^{-x\eta \frac{1+\sqrt{b}}{\sqrt{1-b}}} - (1 - \sqrt{b}) e^{-x\eta \frac{1-\sqrt{b}}{\sqrt{1-b}}} \right). \quad (9)$$

Подставим полученные интегралы (9) в (7), тогда получим после упрощений окончательные выражения

$$T_{x,y}^{(0)}(r, \varphi) = -\frac{Ehk^2 \mu_0 (1 - \mu)}{4\pi^2 \begin{pmatrix} \kappa \\ \kappa^3 \end{pmatrix} a} \text{Im} \sum_{n=0}^{\infty} \varepsilon_n \cos(2n\varphi) \times \quad (10)$$

$$\times \sum_{m=0}^{\infty} \frac{t_{mn}}{m!} G_{n,n+m}(\zeta \sqrt{i}) + I_{x,y}$$

$$I_{x,y} = \mp \frac{Eh(1 - \mu) (1 - b^2) \sqrt{1 - b^2} \mu_0}{8b\pi^2 \kappa a} \left[\left(\frac{\alpha_t^{(1)} \kappa^2 (1 + b) - \alpha_t^{(2)} (1 - b)}{(1 - b)} \right) \times \right]$$

Методика построения фундаментального решения при сосредоточенном тепловом нагреве

$$\times \frac{\cos 2\varphi \mp b}{r^2 (1 \mp b \cos 2\varphi)^2} \mp \left(\frac{\alpha_t^{(2)} (1+b) - \alpha_t^{(1)} \kappa^2 (1-b)}{(1+b)} \right) \frac{\cos 2\varphi \pm b}{r^2 (1 \pm b \cos 2\varphi)^2} \Big].$$

Для моментов при "изгибном" тепловом нагреве использована та же методика

$$M_{x,y}^{(1)} = -\frac{E\mu_1 (1+\nu)^2 (\alpha_t^{(1)} \kappa^2 + \alpha_t^{(2)})}{4\pi^2 R_2^2 \begin{pmatrix} \kappa \\ \kappa^3 \end{pmatrix} k^2} \operatorname{Im} \sum_{n=0}^{\infty} \varepsilon_n \cos(2n\varphi) \times \quad (11)$$

$$\times \sum_{m=0}^{\infty} \frac{m'_{mn}(\lambda)}{m!} G_{n,n+m}(\zeta\sqrt{i}) + J_{x,y}$$

$$J_x = \frac{D(1-\nu)\mu_1}{4\pi ch\kappa a} \left((\alpha_t^{(2)} (2\nu\mu + (1-\nu)) - 2\alpha_t^{(1)} \kappa^2 (1-\mu)) - \frac{\alpha_t^{(1)} \kappa^2 (1+\nu)}{(c^2 + d^2)} \right) \times$$

$$\times \left(\frac{c^2 \cos^2 \varphi - (\sin \varphi - \cos \varphi d)^2}{r^2 ((\sin \varphi - \cos \varphi d)^2 + c^2 \cos^2 \varphi)^2} + \frac{c^2 \cos^2 \varphi - (\sin \varphi + \cos \varphi d)^2}{r^2 ((\sin \varphi + \cos \varphi d)^2 + c^2 \cos^2 \varphi)^2} \right) -$$

$$- \frac{D(1-\nu)\mu_1}{4\pi dh\kappa c} \left((\alpha_t^{(2)} (2\nu\mu + (1-\nu)) - 2\alpha_t^{(1)} \kappa^2 (1-\mu)) + \frac{\alpha_t^{(1)} \kappa^2 (1+\nu)}{(c^2 + d^2)} \right) \times$$

$$\times \left(\frac{c \cos \varphi (\cos \varphi d - \sin \varphi)}{r^2 ((\sin \varphi - \cos \varphi d)^2 + c^2 \cos^2 \varphi)^2} + \frac{c \cos \varphi (\sin \varphi + \cos \varphi d)}{r^2 ((\sin \varphi + \cos \varphi d)^2 + c^2 \cos^2 \varphi)^2} \right),$$

где

$$t_{mn}(\lambda) = \int_0^{\frac{\pi}{2}} \sum_{l=0}^m (-1)^l \binom{m}{l} \left(\frac{1 + \lambda x^2 (1 + 2\gamma \cos 2\theta)}{2 \sqrt{\Delta_5}} \right)^{l+n+1} \left(\sqrt{\frac{1-\mu}{a^2}} \right)^{l+n+1} \times$$

$$\times \frac{(1 \mp \cos 2\theta) \left((\alpha_t^{(1)} \kappa^2 + \alpha_t^{(2)}) - (\alpha_t^{(1)} \kappa^2 - \alpha_t^{(2)}) \cos 2\theta \right) \cos(2n\theta)}{[1 - 4\tilde{\mu}(1+\nu) \cos^2 2\theta]} d\theta;$$

$$m'_{mn}(\lambda) = \int_0^{\frac{\pi}{2}} \sum_{l=0}^m (-1)^l \binom{m}{l} \left(\frac{1 + \lambda \kappa^2 (1 + 2\gamma \cos 2\theta)}{2 \sqrt{\Delta_5}} \right)^{l+n+1} \left(\sqrt{\frac{1-\mu}{a^2}} \right)^{l+n+1} \times$$

$$\times \left[1 + \frac{(1-\nu) (\alpha_t^{(1)} \kappa^2 - \alpha_t^{(2)})}{(1+\nu) (\alpha_t^{(1)} \kappa^2 + \alpha_t^{(2)})} \cos 2\theta \right] \frac{\left(1 \pm \frac{(1-\nu)}{(1+\nu)} \cos 2\theta \right)}{[1 + \tilde{\mu}(1-\nu) \cos^2 2\theta]} \cos 2n\theta d\theta$$

где

$$c = \sqrt{a}, \zeta = kr, d = \sqrt{\frac{\mu(1-\nu)}{2}},$$

$$\Delta_5 = [1 + \tilde{\mu}(1 - \nu) \cos^2 2\theta] [1 - \tilde{\mu}(1 + \nu) \cos^2 2\theta].$$

Таким образом, в статье получена фундаментальная матрица температурных усилий и моментов при сосредоточенном тепловом нагреве. Полученное решение можно использовать для исследования усилий и моментов при распределенном тепловом воздействии, применяя формулу сверток. На основе полученных формул (10), (11) для усилий и моментов $T_{x,y}^{(0)}$, $M_{x,y}^{(1)}$ были проведены расчеты и исследовано влияние геометрических параметров оболочки на поведение усилий и моментов по мере удаления от точки приложения сосредоточенного теплового воздействия (рис.1). На рисунке представлены результаты численных расчетов в виде графиков зависимости усилий от r/h при $\varphi = \pi/2$.

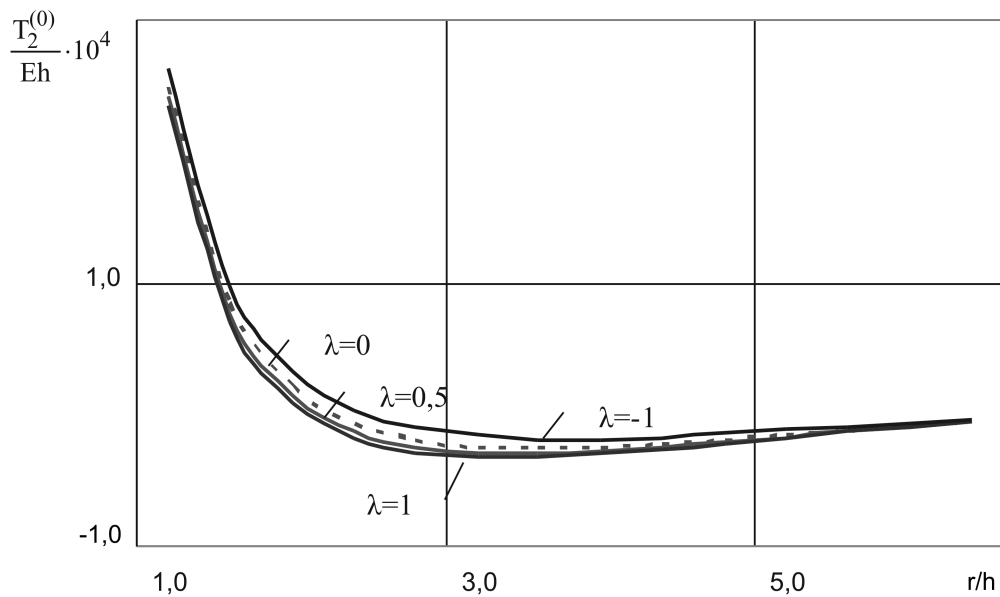


Рис. 1. Усилие при "плоском" тепловом воздействии

Обобщая полученные результаты, можно сделать вывод о том, что при расчете термоупругого состояния тонкостенных элементов конструкций, применив интегральные преобразования Фурье, теорию расчета комплексных интегралов, можно найти решение в аналитическом виде. На основе полученного решения можно не только проводить численное исследование, но и использовать результаты для решений задач о распределенном тепловом воздействии.

1. Рыкалин Н.Н. Расчеты тепловых процессов при сварке. – М.: Машгиз., 1951. – 296с.
2. Лукаевич С. Локальные нагрузки в пластинах и оболочках. – М.: Мир, 1982. – 544с.
3. Ярема С.Я. Решение температурной задачи для пологой сферической оболочки в случае сосредоточенного воздействия// Инст. машиновед. и автом. Научные записки. – 1964. – Вып.9. – С.80-89.

4. Шевченко В.П. К температурной задаче пологих оболочек // Тр. VII всесоюзн. конферен. по теории оболочек и пластин. – 1970. – С.610-613.
5. Шевченко В.П., Дергачева Н.В. Фундаментальные решения уравнений термоупругого равновесия пологих ортотропных оболочек // Механика твердого тела. – 2005. – Вып.35. – С.160-166.
6. Шевченко В.П. Методы фундаментальных решений в теории ортотропных оболочек // Концентрация напряжений. – К.: А.С.К., 1998 – С.205-207. (Механика композитов: В 12т.; т.7).
7. Шевченко В.П. Фундаментальное решение температурной задачи для ортотропных оболочек // Прикл. механика. – 1977. – Вып.10. – С.59-66.
8. Подстригач Я.С., Ярема С.Я. Температурные напряжения в оболочках – Киев: Изд АН УРСР, 1961. – 212с.
9. Свейшников А.Г., Тихонов А.Н. Теория функций комплексной переменной. – М.: Мир – 1967. – 304с.
10. Шевченко В.П. Интегральные преобразования в теории пластин и оболочек: Учебное пособие. – Донецк: ДонГУ, 1977. – 116с.

Донецкий национальный ун-т
nadegda.dergacheva@gmail.com

Получено 19.05.08